

蒋志琼,钟泽民,谭博敏,等. 丹毒丝菌 SpaA 基因免疫保护区的克隆及其在毕赤酵母中的表达[J]. 华南农业大学学报,2015,36(3):20-25

丹毒丝菌 SpaA 基因免疫保护区的克隆 及其在毕赤酵母中的表达

蒋志琼, 钟泽民, 谭博敏, 余希尧, 黄毓茂 (华南农业大学 兽医学院,广东 广州 510642)

摘要:【目的】以毕赤酵母 Pichia pastoris X-33 为宿主表达猪丹毒丝菌 Erysipelothrix rhusiopathiae SpaA 基因氨基端的 免疫保护区蛋白.【方法】以采集于广东某猪场的猪丹毒丝菌为模板,根据 NCBI 中已发表的 Spa 基因 cDNA 序列设 计 1 对引物,通过 PCR 扩增得到 SpaA-N,并将其连接到表达载体 pPICZαC 上,得到重组表达质粒 pPICZαC-SpaA-N; 用 Sac I 酶将重组表达质粒 pPICZαC-SpaA-N 线性化后电转化入毕赤酵母 X-33,经含博来霉素 Zencin™抗性的 YP-DS 平板筛选和 PCR 鉴定的阳性转化子,用含不同浓度博来霉素抗性的 YPDS 平板筛选出高拷贝子并进行甲醇诱 导培养,分别于诱导48、72、96 h 后离心收集上清液,立即做 SDS-PAGE,并进行 SDS-PAGE 及 Western-blot 试验.【结 果和结论】成功克隆并表达了 SpaA-N 基因,构建了重组表达质粒 pPICZαC-SpaA-N,并以毕赤酵母 X-33 为宿主成功 表达了猪丹毒丝菌 SpaA 基因氨基端的免疫保护区蛋白. 丹毒丝菌 SpaA-N 作为免疫保护区在酵母宿主中得以成功 表达.

关键词:丹毒丝菌; SpaA 基因; 毕赤酵母; 克隆和表达; 亚单位疫苗

中图分类号:S855

文献标志码:A

文章编号:1001-411X(2015)03-0020-06

Cloning surface protective antigen A gene from Erysipelothrix rhusiopathiae and its expression in *Pichia pastoris*

JIANG Zhiqiong, ZHONG Zemin, TAN Bomin, YU Xiyao, HUANG Yumao (College of Veterinary Medicine, South China Agricultural University, Guangzhou 510642, China)

Abstract: Objective Immunization protection area protein, which lies in the N-terminal protective domain of surface protective antigen A(SpaA) of Erysipelothrix rhusiopathiae, was expressed in Pichia pastoris X-33. [Method] Using the swine erysipelas, which was isolated from a pig farm in Guangdong as template, a pair of primers was designed according to the cDNA sequence of Spa gene from NCBI. The amino terminal sequence was achieved by PCR amplification, after being inserted into the expression vector pPICZαC to get the recombinant plasmid of pPICZαC-SpaA-N. Recombinant plasmid of pPICZαC-SpaA-N by Sac I enzyme was linearized, and electro transformed it into P. pastoris X-33. The positive transformant, screened by YPDS tablet with Zencin™ and identified by PCR at different concentrations of Zencin[™], achieved the high number of copies which were induced and cultured by methanol. Supernatant was collected by centrifugation at 48, 72, 96 h respectively after induction, and SDS-PAGE and Western-blot tests were carried out. [Result and conclusion] The SpaA gene was successfully cloned and expressed, and the recombinant plasmid of pPICZαC-SpaA-N was constructed. The immunization protection area protein, which lies in SpaA gene amino terminal of swine E. rhusiopathiae in P. pastoris X-33, was successfully expressed. SpaA gene of swine E. rhusiopathiae has been successfully expressed asim-

收稿日期:2014-04-21 优先出版时间:2015-04-14

优先出版网址; http://www.cnki.net/kcms/detail/44.1110.s.20150414.0925.002.html

作者简介: 蔣志琼(1987—), 女, 硕士研究生, E-mail; 827209378@ qq. com; 通信作者: 黄毓茂(1964—), 男, 副教授, 博士, E-mail: ymaohuang@ scau. edu. cn

munization protection area protein in yeast host, which will lay a foundation for the development and the mass production of subunit vaccine of swine *E. rhusiopathiae*.

Key words: Erysipelothrix rhusiopathiae; SpaA gene; Pichia pastoris; cloning and expression; subunit vaccine

丹毒丝菌 Erysipelothrix rhusiopathiae 属于丹毒丝 菌属,是一种兼性厌氧、无芽孢、不产酸的纤小革兰 阳性杆菌[1],是引起猪丹毒和人类丹毒症的病原 体[2]. 该菌能够在各种环境中长期存在(包括海 中)[3],并且能够感染各种野生动物和家畜、鸟类和 鱼类[4-8],从而引发疾病(鱼除外),该病在全球广泛 存在,呈散发或流行性发生,特别是能够引起猪的急 性热性败血症、亚急性疹块、慢性关节炎和心内膜 炎,给养猪业造成了巨大的损失[9].目前国内猪丹毒 病仍时有发生[10-14],虽然感染阳性率不高,但是猪丹 毒的阳性检出率却比较高[15],因此猪丹毒的隐性感 染值得关注.目前,常用防治猪丹毒的方法还是传统 疫苗,虽然此类疫苗在一定程度上起到了相应的作 用,但对慢性猪丹毒的作用效果并不强,而且还在很 大程度上增加了猪慢性关节炎的发病率[16-17],因此 研究一种新型猪丹毒疫苗迫在眉睫.

近年来国内外学者对猪丹毒免疫保护性蛋白(rSpa)进行了大量的研究,为猪丹毒的诊断和防治提供了科学的理论依据. 其中表面保护抗原 A(SpaA)由 N端的免疫保护性区域和 C端的细胞结合区域组成,大量研究表明其具有良好的免疫保护功能^[8,18-20]. 而 SpaA 蛋白中起主要免疫保护效应的核心区段为氨基端(SpaA-N),其免疫保护作用受到国内外学者的广泛关注,并进行了大量的试验研究^[21-25]. 研究者们利用原核表达技术成功地克隆出 Spa-N 片段基因序列,并且研究了其免疫功能^[23,25].

本试验成功地扩增了 *Spa-N* 基因序列,并利用 酵母表达系统对其进行表达,为 *Spa-N* 作为一种亚 单位疫苗投入生产时的高产量、生长快速、易操作和 低成本提供了理论依据.

1 材料与方法

1.1 材料

1.1.1 菌株和载体 猪丹毒菌分离自广东某猪场, pPICZαC 为 Invitrogen 公司产品, 大肠埃希菌 Escherichia coli DH5α 为 TaKaRa 公司产品, 毕赤酵母 Pichia pastoris X-33 由华南农业大学兽医学院传染病教研室保存.

1.1.2 试剂与酶类 质粒提取试剂盒、胶回收试剂

盒、纯化试剂盒等为 Omega 公司产品;各限制性内切酶、T4 连接酶、DNA 聚合酶、DNA Marker 等为 TaKa-Ra 公司产品;PCR 引物合成及测序由 Invitrogen 公司完成;博莱霉素、D-生物素、酵母氮碱等为 Sigma 公司产品;培养基成分如蛋白胨、酵母提取物、葡萄糖、培养基以及 SDS-PAGE 试验所需试剂、HRP 标记的羊抗鼠 IgG 等均为北京鼎国生物技术公司产品;其他试剂均为国产分析纯.

1.1.3 培养基 LB 液体培养基:10 g 胰蛋白胨,5 g 酵母提取物,10 g NaCl,双蒸水定容至1 L. 固体 LB 培养基:在液体 LB 培养基基础上加1.5% 琼脂粉.血 清琼脂培养基:在普通 LB 培养基的配方基础上,双 蒸水定容至 90 mL 后混匀高压, 待冷却至一定温度 时加入10%的兔血清. YPD 培养基:酵母提取物10 g,胰蛋白胨 20 g,溶于 900 mL 双蒸水中,高压灭菌 20 min, 再加入 100 mL 已过滤 0.2 g·mL⁻¹的 D-葡 萄糖. YPDS 培养基:酵母提取物 10 g,胰蛋白胨 20 g,山梨醇 182.2 g,双蒸水定容至 900 mL,高压 20 min 后加入 100 mL 已灭菌的 0.2 g·mL⁻¹的 D-葡萄 糖. BMGY 培养基:酵母提取物 10 g、胰蛋白胨 20 g 溶于700 mL 双蒸水中,高压灭菌后冷却至室温,分 别加入 100 mL 已除菌的 1 mol・L-1 磷酸缓冲液 (pH6.0)、134 g·L⁻¹酵母氮碱、体积分数为 10% 的 丙三醇及 20 mg·L⁻¹的生物素 2 mL. BMMY 培养 基:酵母提取物 10 g,胰蛋白胨 20 g,溶于 700 mL 双 蒸水中,高压灭菌后冷却至室温,分别加入100 mL已 除菌的 1 mol·L⁻¹磷酸缓冲液(pH6.0)、134 g·L⁻¹ 酵母氮碱、体积分数为 10% 的甲醇 10 mL 及 20 mg・L⁻¹的生物素 2 mL.

1.2 重组毕赤酵母表达载体的建立

1.2.1 引物的设计与合成 根据 NCBI 上 SpaA 序列,登录号: AB259654.1,运用 Primer premier 5.0 软件设计1对特异性引物用于扩增 SpaA-N. 上游引物 P1 加入 Xho I 酶切位点;下游引物 P2 加入 Xba I 酶切位点和终止密码子. 本试验预采用毕赤酵母表达载体的 α 因子信号肽,由于质粒 pPICZαC 双酶切中会丢失 KEX2 蛋白酶的酶切位点 Lys-Arg,因此在设计上游引物的时候,还加入了编码 Lys-Arg 的密码子 AAAAGA. 引物由 Invitrogen 公司合成. 引物序列:上

http://xuebao.scau.edu.cn

游引物 P1,5'- CCCTCGAGAAAAGAGGGTACCAA-AGTTTCGAAGC-3';下游引物 P2,5'-GC TCTAGATTA-GATCTTTAGGTTTTTCTTCATCAA-3'.

1.2.2 丹毒丝菌 SpaA-N 的 PCR 扩增 利用煮 – 冻 – 煮法裂解猪丹毒丝菌的细胞壁,进行菌落 PCR. PCR 反应体系: Ex $10 \times$ PCR Buffer $2 \mu L$, 2.5μ mmol dNTP Mixture $2 \mu L$, 引物 P1、P2 各 0.5μ L, Ex Taq DNA 聚合酶 0.125μ L, ddH_2O 17.375 μ L, 模板 2μ L. 反应条件: 94 % 预变性 $5 \min$; 94 % 变性30 s, 54 % 退火 30 s, 72 % 延伸 70 s, 30 % 个循环; 72 % 经延伸 $10 \min$. 经 $8 \text{ g} \cdot \text{L}^{-1}$ 琼脂糖凝胶电泳分析产物后,利用 DNA 回收试剂盒进行纯化回收.

1.2.3 重组表达载体的构建 对胶回收后的回收产物 Spa-N 和表达载体 pPICZ α C 同时进行 Xho I 和 Xba I 双酶切,并利用 DNA 胶回收试剂盒进行纯化回收. 将酶切回收后的目的基因与表达载体连接后转化大肠埃希菌 DH5 α 感受态细胞,将最后一步的重悬液均匀涂布于含 $Zencin^{TM}$ (25 μ g·mL $^{-1}$)的低盐 LB 固体培养基上,放入 37 $^{\circ}$ C 培养箱中培养 12 $^{\circ}$ 16 h.

1.2.4 重组表达质粒的鉴定 PCR 鉴定:挑选低盐 LB 平 板 上 的 可 疑 菌 落 于 含 *Zencin*[™] (100 μg·mL⁻¹)LB液体培养基中 37 ℃震荡培养 8 h,做菌液 PCR 鉴定. PCR 体系与反应条件同"1.2.2".

单酶切和双酶切鉴定:按照相应体系,利用酶 Xho I 与 Xba I 进行双酶切鉴定,用酶 Xba I 进行单酶 切鉴定.

1.3 SpaA-N 基因在毕赤酵母中的表达

1.3.1 毕赤酵母 X-33 感受态细胞的制备 参照 Invitrogen EasySelect Pichia Expression kit 介绍的方法进行制备.

1.3.2 重组质粒 pPICZαC-SpaA-N 的电击转化 根据 Invitrogen 公司实验手册进行. 先利用 Sac I 单酶 切重组质粒 pPICZαC-SpaA-N,使之线性化,同时对空 质粒 pPICZαC 也进行同酶同系线性化,反应体系(50 μL): $10 \times Buffer 5 \mu L$, pPICZαC-SpaA-N $30 \mu L$, Sac I $3 \mu L$, ddH₂O $12 \mu L$. 将 75 μL 新制备的感受态酵母细胞与 25 μL 线性化的重组质粒轻轻混匀后转人预冷的电转杯中冰浴 5 min. 设定电转参数 305 V, 进行15 ms电转后立即加入 1 mL 预冷的 1 mol·L⁻¹ 山梨醇,混匀后转入 5 mL 离心管, $30 \text{ $^\circ}$ 条件下静置 $1 \sim 2 \text{ h}$,再加入 YPD 液体培养基 1 mL, $30 \text{ $^\circ}$ 震荡培养 1 h. 4 $000 \text{ r} \cdot \text{min}^{-1}$ 收集菌体,用 $50 \sim 200 \mu L$ YPD 重悬菌体后铺于新鲜制备的 YPDS 平板(含 ZencinTM $100 \mu \text{g} \cdot \text{mL}^{-1}$)上,将平板倒置于 $30 \text{ $^\circ}$ 培养箱中培http://xuebao.scau.edu.cn

养3~5 d.

1.3.3 重组酵母菌菌液 PCR 鉴定及高拷贝转化子的筛选 挑取单菌落于 1 mL YPDS 培养基中(含 Zencin™200 μg·mL⁻¹)扩菌培养,采用煮 - 冻 - 煮 法制备 PCR 模板分析毕赤酵母转化子,以 P1、P2 为 引物扩增出 1 029 bp 的片段为阳性转化子. PCR 体系与反应条件同"1.2.2". 再经不同浓度 Zencin™的 YPDS 平板筛选高拷贝克隆工程菌,用于高效诱导表达 SpaA-N 蛋白.

1.3.4 抗血清的制备 购买 8 只体质量都在 15 g 左右的 SPF 雌鼠. 培养猪丹毒菌,用平板计数法进行计数,并用生理盐水将其稀释至 10 LD₅₀ (1.1 × 10² cfu),加入体积分数为 0.1% 的甲醛进行灭菌处理,划板验证为无菌后进行下一步试验. 将铝胶佐剂与经过灭菌处理的猪丹毒菌液按照体积比 1:5 的比例进行混合,第 1 次免疫时每只小鼠腹腔注射 100 μL混合液,14 d 后进行第 2 次免疫,第 2 次免疫 10 d 后进行第 3 次免疫 5 次免疫,3 次注射剂量均相同,在第 3 次免疫 10 d 后进行摘眼取血. 采集的血液先置 37 ℃条件下凝固约 2 h,然后置 4 ℃条件下过夜,使血块收缩,第 2 天 5 000 r·min⁻¹离心 5 min,收集血清,于 – 80 ℃条件保存备用.

1.3.5 高拷贝酵母工程菌的诱导表达和 SDS-PAGE 挑取阳性单克隆转化子,接种至 BMGY 中,28 ℃ 摇至 $D_{600 \text{ nm}}$ 为 2 ~ 6,用 BMMY 重悬细胞至 $D_{600 \text{ nm}}$ 为 1.0 进行诱导表达,每 24 h 加甲醇至甲醛终体积分数为 1% 以继续诱导. 分别在 48、72、96 h 时离心收集上清液,立即做 SDS-PAGE 或 – 20 ℃条件保存备用,并做 SDS-PAGE 及 Western-blot 分析.

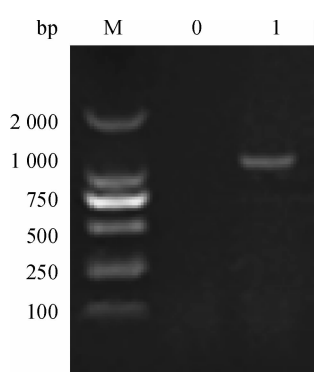
1.3.6 免疫及动物保护试验 将 16 只体质量为 18~20 g的昆明小鼠随机分为 2 组,每组 8 只.将生理盐水、经过毕赤酵母表达的 SpaA-N 蛋白分别与铝胶佐剂以体积比 5:1 进行混合,每只小鼠腹腔注射混合液 100 μL 进行第 1 次免疫,分别命名为组 1、组 2,其中组 1 为空白对照组.第 1 次免疫 14 d 后进行第 2 次免疫,各组的免疫剂量与方法同第 1 次免疫.分别对第 2 次免疫 14 d 后的 2 组免疫小鼠进行腹腔注射攻毒,攻毒剂量为 100 LD₅₀(1.1×10³ cfu),连续观察 10 d,记录各组小鼠死亡数,计算各免疫组的保护率.

2 结果

2.1 Spa-N 基因的合成

以菌液为模板,P1、P2 为引物,进行 PCR 扩增, 经 $10 \text{ g} \cdot \text{L}^{-1}$ 琼脂糖凝胶电泳可观察到有单一条带,

与实际条带 1 029 bp 相符(图 1).



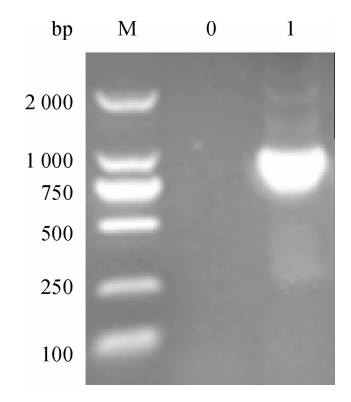
M: DNA marker DL2000;0:阴性对照;1:Spa-N 基因.

图 1 Spa-N 基因 PCR 扩增

Fig. 1 PCR amplification of Spa-N gene

2.2 重组表达质粒的 PCR 鉴定

从转化后培养的低盐 LB 平板上挑取疑似阳性的单菌落,接种于含 $Zencin^{TM}$ 25 μ g·mL⁻¹的 LB 液体培养基中,37 ℃条件下震荡过夜,直接以菌液为模板进行 PCR 鉴定,以 P1、P2 为引物,扩增产物经 10 g·L⁻¹琼脂糖凝胶电泳,可观察到大小约为 1 029 bp的单一条带(图 2),而阴性对照无任何条带.结果表明猪丹毒 SpaA-N 已成功插入表达载体中.



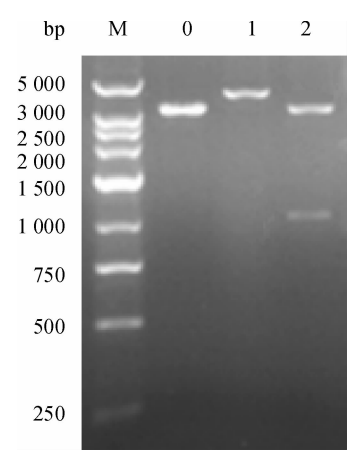
M: DNA marker DL2000;0:阴性对照;1:重组质粒 pPICZαC-SpaA-N.

图 2 重组质粒 pPICZαC-SpaA-N 的 PCR 鉴定

Fig. 2 Identification of recombinant plasmid pPICZ α C-SpaA-N by PCR

2.3 重组表达质粒 pPICZ $_{\alpha}$ C-SpaA-N 的单酶切及双酶切鉴定

以抽提的质粒分别在 20 μ L 体系中做 *Xho* I 单酶切鉴定及 *Xba* I 和 *Xho* I 的双酶切鉴定,并且以不加酶的重组表达质粒作阴性对照,于 37 ℃恒温水浴过夜后,以 1 g·L⁻¹的琼脂糖凝胶电泳检测结果. 单酶切出现 1 条 4.6 kb 左右条带,与实际相符;双酶切出现 2 条带,其中 1 条大小约为 1 029 bp,与外源目的基因大小 1 029 bp 相符(图 3).



M:250 bp DNA ladder marker; 0:未酶切的 pPICZαC-SpaA-N 质粒; 1:pPICZαC-SpaA-N 质粒 Xho I 单酶切产物; 2:pPICZαC-SpaA-N 质粒 Xba I 和 Xho I 双酶切产物.

图 3 重组质粒 pPICZαC-SpaA-N 的酶切鉴定

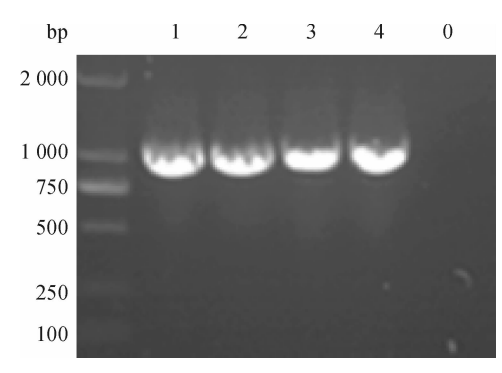
Fig. 3 Identification of recombinant plasmid pPICZαC-SpaA-N by restriction endonucleases digestion

2.4 重组表达质粒的序列测定结果

将经过 PCR 和酶切鉴定的阳性重组表达质粒, 送 Invitrogen 公司,用载体引物(即通用引物)对重组 质粒 pPICZαC-SpaA-N 进行测序. 结果显示,目的片段与 NCBI 已发表的 Spa-N 序列的相似性高达 99%.

2.5 重组酵母菌液 PCR 鉴定

挑取电转的阳性菌落于1 mL 的 YPDS 液体培养基中(含 Zencin™100 μg·mL⁻¹),30 ℃条件下 180 r·min⁻¹振荡培养,取少量菌液进行 PCR 鉴定. 同时取空载体 pPICZαC/X-33 转化的重组酵母菌作阴性对照,电泳检测. 结果显示:重组质粒转化的重组酵母菌液可以扩增出大小约为1 029 bp 的特异条带,而空质粒转化的酵母菌液在1 029 bp 处无条带(图4).



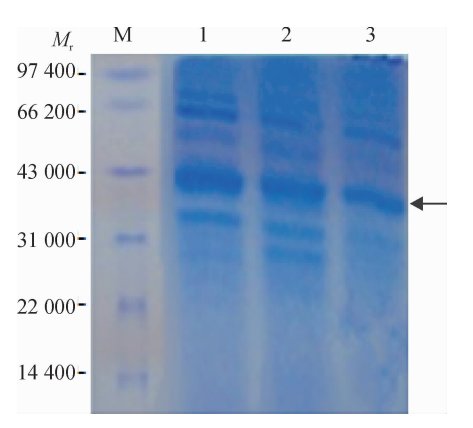
M: DNA marker DL2000;0:空质粒转化酵母 PCR 扩增产物;1~4:重组质粒/X-33 的 PCR 扩增产物.

图 4 重组酵母菌液 PCR 鉴定

Fig. 4 Identification of recombinant yeast by PCR

2.6 SpaA-N 表达产物的 SDS-PAGE 分析

高拷贝重组酵母工程菌株经甲醇诱导表达,分 http://xuebao.scau.edu.cn 别于诱导 48、72、96 h 后经 10 000 r·min ⁻¹离心收集酵母上清液后进行 SDS-PAGE(12% 分离胶和 5% 浓缩胶)表达分析,考马斯亮蓝染色鉴定. 结果显示,相对分子质量约为 40 000 的 Spa-N 蛋白得以表达(图5),表明猪丹毒 Spa-N 蛋白在酵母 X-33 中成功表达.



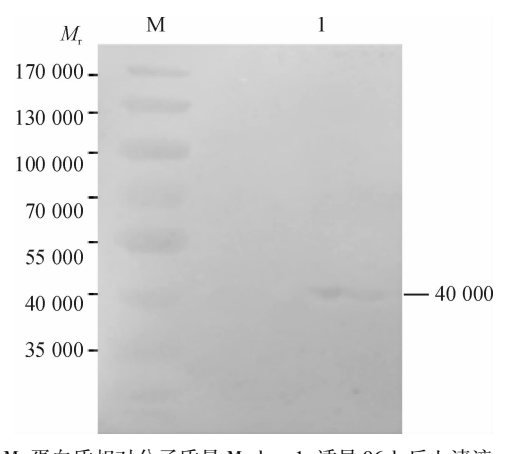
M:低相对分子质量蛋白质 Marker; 1: SpaA-N 诱导 96 h 后上清液; 2: SpaA-N诱导 72 h 后上清液; 3: SpaA-N 诱导 48 h 后上清液.

图 5 Spa-N 表达产物的 SDS-PAGE 分析

Fig. 5 SDS-PAGE analyses of expression products of Spa-N gene

2.7 SpaA-N 表达产物的 Western-blot 分析

表达蛋白的 Western-blot 免疫印迹检测结果显示,抗天然 SpaA 蛋白抗体(抗血清)和通过酵母表达的 SpaA-N 蛋白发生了特异性反应,说明 SpaA-N 蛋白在毕赤酵母中得到成功的表达(图 6).



M:蛋白质相对分子质量 Marker;1:诱导 96 h 后上清液. 图 6 *SpaA-N* 表达产物的 Western-blot 分析

Fig. 6 Immunoreactivies of expression products of SpaA-N gene by Western-blot

2.8 免疫及动物保护试验结果

组1的生理盐水对照组小鼠在攻毒后表现出一些不适的症状:食欲下降、毛发起皱及精神沉郁等,第5天开始死亡,到第8天全部死亡.而组2的SpaA-N蛋白试验组在攻毒的前2d有一些不适症状,但到后期这些不适症状消失,没有出现死亡情况.试验结果

http://xuebao.scau.edu.cn

表明试验所表达的 SpaA-N 蛋白具有免疫保护性.

3 讨论

现在世界各地猪丹毒仍频繁爆发^[26],给世界各国的养猪业造成了巨大的经济损失.目前常用活菌疫苗、灭活疫苗及联苗等来预防和控制该病的发生和传播,但是接种活菌苗有可能使免疫动物变成带菌者和细菌的传播者,从而使得慢性病例逐渐增加;灭活疫苗的培养液本身是异体蛋白,易使接种动物发生过敏反应.而亚单位疫苗具有安全性高、产量高、稳定性好等优点,克服了活菌疫苗的毒力返强和灭活对猪只引起过敏反应等缺点.

近几年来,相继出现了一些对猪丹毒杆菌的分 子生物学和免疫学的研究, Makino 等[18] 克隆和表达 了猪丹毒丝菌表面保护性抗原 SpaA,发现 SpaA 的 N 端 342 个氨基酸残基组成的多肽承担了该蛋白的免 疫保护功能. 前人对猪丹毒杆菌 SpaA 的氨基酸进行 原核表达和重组疫苗的研究结果表明,SpaA-N蛋白 具有良好的免疫保护作用[21-25]. 但现如今的研究都 是基于原核表达系统上,其表达的目的产物常以包 涵体形式存在,无翻译后的修饰加工过程[27],包涵体 复性困难且效率很低. 而本试验采用的毕赤酵母表 达系统与其他表达系统相比,有着不可比拟的优势, 其既有原核生物繁殖快、易于培养、培养基廉价和试 验过程简单可行等特点,又具有强有力的启动子,还 可以对外源蛋白进行加工折叠和翻译后修饰[28]等真 核生物表达体系的特点,而且巴斯德毕赤酵母还是 一种能高效表达外源蛋白的表达系统,具有遗传稳 定、表达水平高、蛋白可翻译后加工、产物可分泌、可 高密度发酵等许多优点[29].

本研究成功克隆并表达了猪丹毒丝菌 C43065 SpaA 的 N 端免疫保护片段,测序结果分析发现其与 NCBI 上已登录的不同血清型菌株的 SpaA 基因的核苷酸序列的相似性高达 99%,说明该基因具有很高的保守性. SDS-PAGE 及 Western-blot 结果表明其具有免疫反应性,因此,本研究为猪丹毒新型亚单位疫苗的研制和大规模生产奠定了基础.

致谢:感谢兽医学院传染病教研室的老师和同学给予的支持和帮助!

参考文献:

[1] BROOKE C J, RILEY T V. Erysipelothrix rhusiopathiae: Bacteriology, epidemiology and clinical manifestations of

- an occupational pathogen[J]. J Med Microbiol, 1999, 48 (9): 789-799.
- [2] BOO T W, HONE R, HURLEY J. Erysipelothrix rhusio-pathiae endocarditis: A preventable zoonosis[J]. Ir J Med Sci, 2003, 172(2): 81-82.
- [3] SITT T, BOWEN L, MYRA T, et al. Cellular immune responses in cetaceans immunized with a porcine erysipelas vaccine [J]. Vet Immunol Immunopathol, 2010, 137 (3/4): 181-189.
- [4] GARTRELL B D, ALLEY M R, MACK H, et al. Erysipelas in the critically endangered kakapo (*Strigops habroptilus*) [J]. Avian Pathol, 2005,34(5):383-387.
- [5] HASSANEIN R, SAWADA T, KATAOKA Y, et al. Serovars of *Erysipelothrix* species isolated from the tonsils of healthy cattle in Japan [J]. Vet Microbiol, 2001, 82 (1):97-100.
- [6] BOERNER L, NEVIS K R, HINCKLEY L S, et al. Erysipelothrix septicemia in a little blue penguin (Eudyptula minor) [J]. J Vet Diagn Invest, 2004, 16(2):145-149.
- [7] HOLTIFIELD J L, COOPER G L, CHARLTON B R. An outbreak of erysipelas in 2-day-old poultry [J]. Avian Pathol, 2000, 44(33):721-724.
- [8] CHEUN H I, KAWAMOTO K, HIRAMATSU M, et al. Protective immunity of SpaA-antigen producing lactococcus lactis against Erysipelothrix rhusiopathiae intfection [J]. J Appl Microbiol, 2004, 96(6):1347-1353.
- [9] HASSANEIN R, SAWADA T, KATAOKA Y, et al. Pathogenicity for mice and swine of *Erysipelothrix* isolates from the tonsils of healthy cattle [J]. Vet Microbiol, 2003,91(2/3):231-238.
- [10] 朱凤琼, 陈达燕, 夏英杰, 等. 猪丹毒杆菌的分离及鉴定[J]. 现代农业科技,2012(4): 316-317.
- [11] 邱美珍, 杜丽飞, 杨爱梅, 等. 猪丹毒杆菌临床分离鉴 定与药敏试验[J]. 养猪, 2011(6): 111-112.
- [12] 郭良兴, 陈克研, 赵魁,等. 猪丹毒杆菌的分离鉴定及耐药性试验[J]. 中国畜牧兽医,2011,38(4): 199-202.
- [13] 车勇良, 陈如敬, 王隆柏, 等. 猪丹毒杆菌的分离鉴定及其 SpaA 基因的遗传变异分析[J]. 中国兽医学报, 2011,31(11): 1591-1593.
- [14] 万莉, 韩国全, 郭万柱,等. 猪丹毒疫苗研究进展[J]. 猪业科学,2010(6):32-35.
- [15] 周绪斌, 丹尼, 李聪,等. 猪丹毒——古老的传染病是否从中国规模化猪场消失了[J]. 农业新技术, 2009 (5):22-24.
- [16] FREDDY H, FRANK P, KOEN C, et al. Efficacy of vaccines against bacterial diseases in swine: What can we expect[J]. Vet Microbiol, 2004, 100(3/4): 255-268.
- [17] SILVA A J, HORTA A C, IEMMA M, et al. Production of potential subunit vaccine against swine erysipelas in fed-

- batch cultures of *E. coli* BL21(DE3) [J]. New Biotechnol, 2009, 255(6);187-188.
- [18] MAKINO S, YAMAMOTO K, MURAKAMI S, et al. Properties of repeat domain found in a novel protective antigen, SpaA, of Erysipelothrix rhusiopathiae [J]. Microb Pathog, 1998, 25(2):101-109.
- [19] IMADA Y, GOJI N, ISHIKAWA H, et al. Truncated surface protective antigen (*SpaA*) of *Erysipelothrix rhusio-pathiae* serotypes 1a and 2b in pigs [J]. Infect Immun, 1999, 67(9): 4376-4382.
- [20] ALAINA L I, JAMES A R, PAUL J H. Erysipelothrix rhusiopathiae: Association of Spa-type with serotype and role in protective immunity [J]. Vaccine, 2010, 28 (13): 2490-2496.
- [21] 曹文尧. 丹毒丝菌表面保护抗原 A 作为重组亚单位疫苗和核酸疫苗的初步研究 [D]. 乌鲁木齐:新疆大学, 2007.
- [22] 谭侃侃. 丹毒丝菌的分离鉴定及其 SpaA-N 蛋白和 lipo 蛋白的免疫原性分析[D]. 长沙:湖南农业大学,2011.
- [23] 吾鲁木汗·那孜尔别克,张磊,何翠,等. 猪丹毒丝菌 天然 *SpaA* 和重组 *SpaA-N* 免疫保护效果的评价[J]. 微生物学报,2010,50(3):367-372.
- [24] 李伟杰, 赵耘, 康凯,等. 红斑丹毒丝菌 *SpaA* 抗原基因的克隆、序列分析及蛋白结构预测[J]. 中国兽医学报, 2011,31(11):1591-1594.
- [25] DA A J, SILVA M R, IEMMA A C, et al. Cloning, auto-induction expression, and purification of rSpaA swine erysipelas antigen [J]. Curr Microbiol, 2012, 65 (4):369-374.
- [26] OPRIESSNIG T L, HOFFMAN J, HARRIS D L, et al. Erysipelothrix rhusiopathiae: Genetic charact erization of Midwest US isolates and live commercial vaccines using pulsed field gel electrophoresis [J]. J Vet Diagn Invest, 2004, 16(2): 101-107.
- [27] JIN F L, XU X X, YU X Q, et al. High-level expression of active recombinant ubiquitin carboxyl terminal hydrolase of drosophila melanogaster in *Pichia pastoris* [J]. Protein Expr Purif, 2009,65(2):115-121.
- [28] 杨梅, 温真, 林丽玉. 毕赤酵母蛋白表达系统研究进展[J]. 生物技术通报,2011(4):46-51.
- [29] DALY R, HEARN M T W. Expression of heterologous proteins in *Pichia pastoris*: A useful experimental tool in protein engineering and production [J]. J Mol Recognit, 2005,18(2): 119-138.

【责任编辑 柴 焰】